

پارامترهای آناتومیک مفصل هیپ و ارتباط آن‌ها با پارامترهای فیزیکی بدن

دکتر علی یگانه^۱، دکتر غلامرضا شاه حسینی^۱، دکتر پوریا رویان^۲، دکتر افشین احمدزاده حشمتی^۳

نویسنده‌ی مسؤول: کرمان، دانشگاه علوم پزشکی کرمان، دانشکده پزشکی، بیمارستان باهنر aahortoped@gmail.com

دریافت: ۹۳/۸/۷ پذیرش: ۹۴/۳/۱۰

چکیده

زمینه و هدف: آرترroz مفصل هیپ یکی از شایع‌ترین شکایات بیماران است تلاش‌های زیادی شده تا به علل آن پی برده شود. یکی از مسائلی که همواره مورد توجه محققین بوده عوامل مورفو‌لوزیک و ارتباط آن‌ها با تغییرات استئوآرتریت این مفصل می‌باشد و از آنجا که این عوامل خود تحت تاثیر عوامل فیزیکی بدن و نزد می‌باشند برآ شدیم تا این عوامل را در جامعه‌ی ایرانی مورد بررسی قرار دهیم روش بررسی: ۳۰۰ رادیوگرافی روبروی نرمال لگن از نظر پارامترهای آناتومیک هیپ مورد ارزیابی قرار گرفت که این پارامترها عبارت بودند از: زاویه مرکز سر فمور - لبه استابولوم، ایندکس استابولوم، زاویه گردن - تنہ فمور و نسبت سر به گردن فمور. همچنین پارامترهای فیزیکی افراد شامل قد، وزن و شاخص توده بدنی نیز اندازه‌گیری شدند. ارتباط این متغیرها توسط نرم‌افزار SPSS مورد ارزیابی قرار گرفت.

یافته‌ها: میانگین زاویه مرکز سر - لبه استابولوم ۳۴ درجه، میانگین ایندکس استابولوم ۳۸ درجه، میانگین نسبت سر به گردن فمور ۱/۴ و میانگین زاویه گردن - تنہ فمور ۱۳۰ درجه بود. ۴/۷ درصد جامعه مورد بررسی دارای زاویه مرکز سر - لبه استابولوم بیشتر از ۲۵ درجه بودند. در خصوص ارتباط پارامترهای آناتومیک هیپ با پارامترهای فیزیکی بین زاویه گردن - تنہ فمور با قد و همچنین بین نسبت سر - گردن فمور با شاخص توده بدنی ارتباط مستقیم و نیز بین زاویه گردن - تنہ فمور با شاخص توده بدنی و همچنین بین نسبت سر - گردن با قد ارتباط معکوس مشاهده شد.

نتیجه‌گیری: میانگین پارامترهای آناتومیک هیپ در ایرانیان مشابه با جوامع دیگر بود. در این جامعه ۷/۴ درصد افراد بدون علامت، دارای دیسپلازی استابولوم بودند.

واژگان کلیدی: دیسپلازی استابولوم، زاویه گردن - تنہ، ایندکس استابولوم، نسبت سر - گردن، زاویه مرکز سر - استابولوم

مقدمه

یکی از شایع‌ترین مشکلاتی که بیماران را به کلینیک‌های ارتوپدی هدایت می‌کند استئوآرتریت مفاصل می‌باشد و مفصل هیپ یکی از شایع‌ترین مفاصلی است که دچار این

تغییرات می‌گردد بنابراین تلاش‌های زیادی برای مشخص نمودن علل پیدایش این تغییرات شده است. یکی از مواردی که با استئوآرتریت مفصل هیپ ارتباط دارد تغییرات

۱- متخصص ارتوپدی، گروه ارتوپدی بیمارستان رسول، دانشیار دانشکده پزشکی، دانشگاه علوم پزشکی ایران

۲- متخصص ارتوپدی، بیمارستان رسول، دانشگاه علوم پزشکی ایران

۳- متخصص ارتوپدی، استادیار بیمارستان باهنر، دانشکده پزشکی، دانشگاه علوم پزشکی کرمان

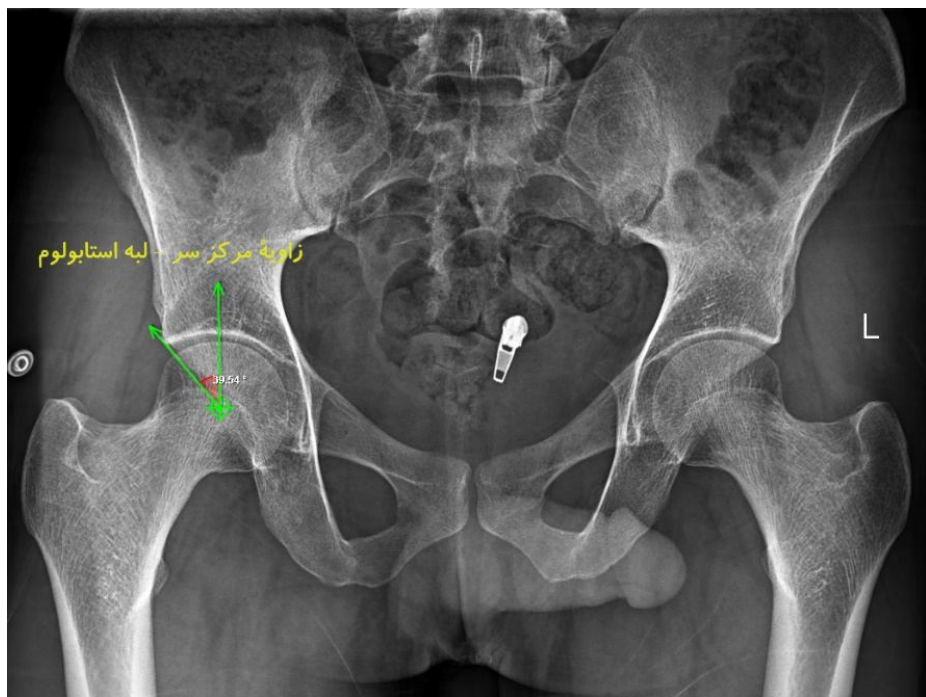
استئوآرتریت در حد گرید ۲ یا بالاتر بر اساس سیستم Kellgren and Lawrence (۱۱) هرگونه پاتولوژی در مفصل هیپ هرگونه شکستگی جدید یا قدیمی در لگن یا هیپ هرگونه سابقه‌ی جراحی در اندام‌های تحتانی از مطالعه خارج شدند. رادیوگرافی بیماران در حالت خوابیده به پشت انجام گردید. فاصله‌ی تیوب اشعه تا بیمار ۱۰۰ سانتی‌متر و مرکز اشعه ۵ سانتی‌متر بالای سمفیز پویس تنظیم گردید و مفاصل هیپ در وضعیت ۱۵ درجه چرخش داخلی قرار داده شد. رادیوگرافی مورد تایید قرار می‌گرفت که در آن هر دو مفصل هیپ تا دو طرف تروکانترهای بزرگ مشخص باشد و لگن چرخش نداشته باشد بدین شکل که بال‌های ایلیاک و سوراخ‌های ابتراتور در دو طرف متقارن باشند و کوکسیکس ۱-۲ سانتی‌متر بالاتر از سمفیزیس پویس دیده شود (۸). اندازه‌گیری‌ها روی مفصل هیپ راست و توسط یک نرم افزار کامپیوتری با دقت ۰/۰۱ انجام گردید. متغیرهای اندازه‌گیری شده عبارت بودند از: ایندکس استابولوم، زاویه‌ی مرکز سر فمور تا لبه‌ی استابولوم، نسبت قطر سر به گردن فمور و زاویه‌ی گردن فمور با تنه فمور برای اندازه‌گیری زاویه‌ی مرکز سر فمور تا لبه‌ی استابولوم ابتدا مراکز سر استخوان فمور در دو طرف مشخص می‌شد و این دو نقطه با یک خط بهم وصل می‌گردید. سپس از مرکز سر یک خط عمود بر آن رسم می‌شد و خط دیگر از مرکز سر تا لبه‌ی خارجی استابولوم رسم و زاویه‌ی بین این دو خط اندازه‌گرفته می‌شد (۹ و ۱۰) (شکل ۱). برای اندازه‌گیری ایندکس استابولوم ابتدا توسط یک خط افقی قسمت تحتانی نمای U یا نمای قطره اشک بهم وصل می‌شد، سپس از این نقطه یک خط به لبه‌ی استابولوم رسم می‌گردید و زاویه‌ی بین دو خط فوق محاسبه می‌شد (۱۰، ۱۲) (شکل ۲). نسبت قطر سر به گردن فمور ابتدا بیشترین قطر سر استخوان فمور رسم می‌شد. سپس کمترین قطر گردن استخوان فمور با یک خط دیگر موازی با خط اول رسم و نسبت این دو خط محاسبه می‌گردید (۱۳) (شکل ۳).

مورفولوژیک این مفصل است که شامل استابولوم، سر و گردن استخوان فمور می‌باشد (۲ و ۱). برای تعیین شکل طبیعی مفصل هیپ و تشخیص انحرافات آناتومیک این مفصل معیارهای متعددی معرفی شده است و در تحقیقات متعدد سعی شده ارزش این معیارها و ارتباط آن‌ها با استئوآرتریت این مفصل نشان داده شود که از جمله‌ی این معیارها می‌توان به زاویه‌ی بین مرکز سر استخوان فمور و لبه‌ی خارجی استابولوم، ایندکس استابولوم، زاویه‌ی بین سر و گردن استخوان فمور و نسبت قطر سر به گردن استخوان فمور اشاره کرد (۴ و ۳). از طرف دیگر در مطالعات متعددی نشان داده است که این معیارهای آناتومیک تحت تاثیر عوامل فیزیکی انسان نیز قرار دارند از جمله قد، وزن و شاخص توده‌ی بدنی (۵ و ۳). همچنین به جز موارد فوق، مطالعاتی نیز وجود دارند که حاکم از این مطلب هستند که شیوع استئوآرتریت به نژاد نیز بستگی دارد (۶) بنابراین بسیاری از محققین تلاش کرده‌اند تا ارتباط بین عوامل آناتومیک و فیزیکی ذکر شده را در جامعه‌ی خودشان بررسی کنند (۱۰-۷) و از آنجا که در کشور ما هنوز هیچ مطالعه‌ای در رابطه با عوامل آناتومیکی و فیزیکی مفصل هیپ و ارتباط این عوامل با یکدیگر انجام نشده است تصمیم گرفتیم که این تحقیق را انجام دهیم تا مطالعات بعدی روی این مفصل در کشور ما با دقت بیشتری صورت پذیرد.

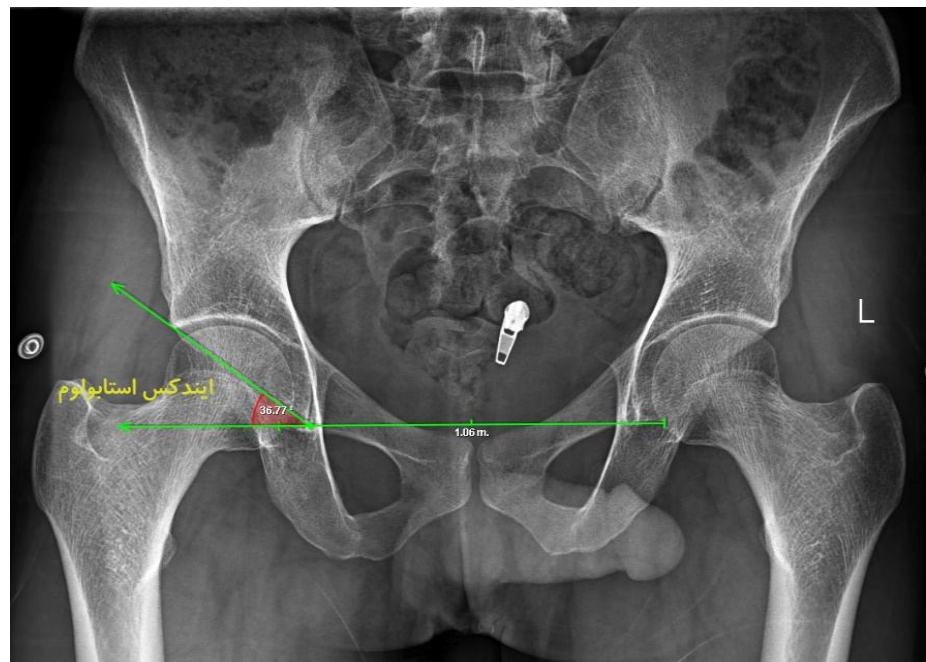
روش بررسی

این مطالعه ۳۰۰ بیمار مراجعه کننده‌ی به بیمارستان حضرت رسول از تاریخ فروردین ۱۳۹۲ لغایت فروردین ۱۳۹۳ در محدوده‌ی سنی ۱۸ تا ۶۰ سال که تحت رادیوگرافی لگن قرار گرفته بودند را شامل گردیده است. معیارهای خروج از مطالعه عبارت بودند از:

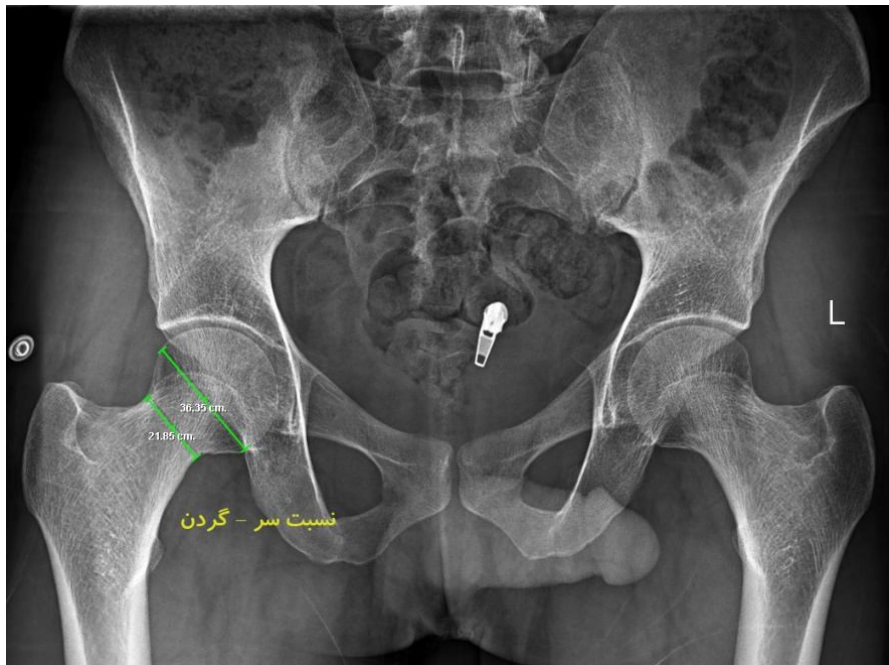
بیماران دارای هرگونه درد مزمن هیپ (بیشتر از یک ماه) هرگونه آرتیریت التهابی در مفصل هیپ وجود تغییرات



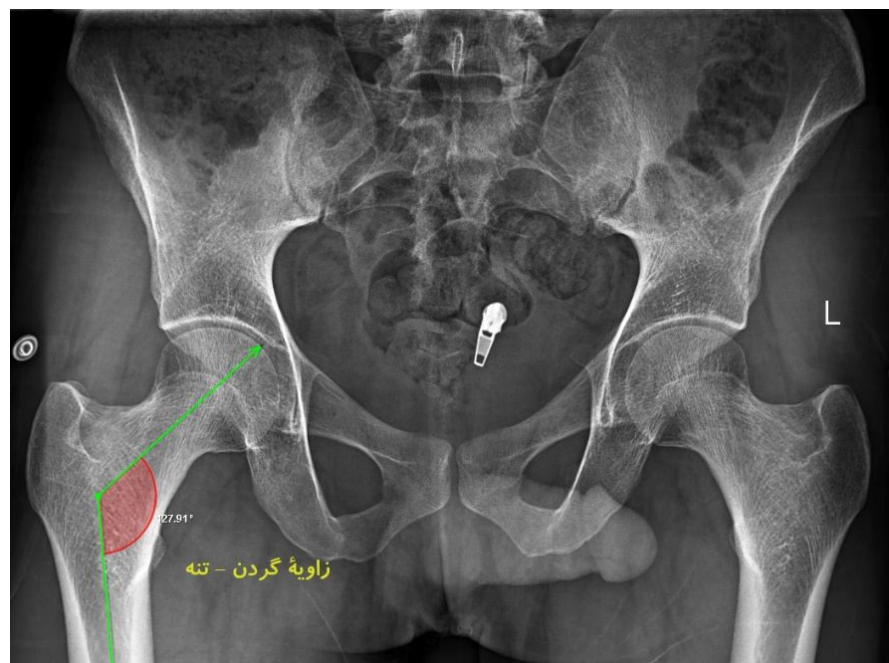
شکل ۱. روش اندازه‌گیری زاویه‌ی مرکز سر لبه‌ی استابولوم



شکل ۲. روش اندازه‌گیری ایندکس استابولوم



شکل ۳. روش اندازه‌گیری نسبت قطر سر به استابولوم



شکل ۴. روش اندازه‌گیری زاویه گردن-تنه فمور

برای محاسبه‌ی زاویه‌ی بین گردن و تنہ ای استخوان فمور دو محور محاسبه می‌گردید (۱۵) و (۱۶) (شکل ۴). متغیرها جهت آنالیز آماری وارد نرم‌افزار SPSS Ver 16 گردیدند.

برای محاسبه‌ی زاویه‌ی بین گردن و تنہ ای استخوان فمور محورهای طولی گردن و تنہ رسم می‌شد و زاویه‌ی بین این

بود. میانگین شاخص توده‌ی بدنی در افراد مورد مطالعه $24/9 \pm 2/8$ کیلوگرم بر متر مربع بود که بین دو جنس از نظر BMI اختلاف معنی‌دار دیده نشد. وزن بیماران در محدوده‌ی ۴۰ تا ۱۲۲ کیلوگرم قرار داشت و میانگین آن در محدوده‌ی $72/28 \pm 13/28$ کیلوگرم و قد بیماران در محدوده‌ی ۱۴۲ تا ۱۹۴ سانتی‌متر و میانگین آن $170/1 \pm 9/3$ سانتی‌متر بود که در این دو مورد نیز بین مردان و زنان اختلاف معنی‌دار بود. پارامترهای فوق در جدول ۱ نشان داده شده‌اند. همچنین در جدول ۲ مقادیر متوسط متغیرهای آناتومیک به تفکیک جنس خلاصه شده است.

برای بررسی ارتباط خطی بین متغیرهای آناتومیک و فیزیکی از تست Pearson correlation coefficient و برای تشخیص ارتباط مستقل بین پارامترها از آنالیز Independent t test استفاده گردیده است.

یافته‌ها

از مجموع ۳۰۰ نمونه‌ی مورد مطالعه، تعداد ۲۰۶ نفر مرد ($68/7$ درصد) و ۹۴ نفر ($31/4$ درصد) زن بودند. سن بیماران در محدوده ۱۸ تا ۶۰ سال با میانگین $36/6 \pm 16/4$ سال بود که اختلاف بین میانگین سنی زنان و مردان معنی‌دار

جدول ۱. میانگین متغیرهای فیزیکی در بیماران

P	زن	مرد	کل	تعداد
	۹۴	۲۰۰	۳۰۰	
.۰/۰۰۵	$40/9 \pm 18$	$34/6 \pm 15/2$	$37/6 \pm 16/4$	سن (سال)
.۰/۰۰۱	$162 \pm 6/3$	$173/7 \pm 8/1$	$170/1 \pm 9/3$	قد (سانتی‌متر)
.۰/۰۰۱	$65/6 \pm 9/9$	$75/3 \pm 13/5$	$72/2 \pm 13/2$	وزن (کیلوگرم)
.۰/۷	$25 \pm 3/7$	$24/8 \pm 3/8$	$24/9 \pm 2/8$	شاخص توده‌ی بدنی (kg/m^2)

جدول ۲. میانگین پارامترهای هیپ در بیماران

P	زن	مرد	کل	
.۰/۳	$33/5 \pm 4/9$	$34/2 \pm 5/4$	$34 \pm 5/2$	زاویه‌ی مرکز سر - لبه استابولوم
.۰/۰۰۴	$39/2 \pm 3/4$	$37/8 \pm 3/5$	$38/2 \pm 3/5$	ایندکس استابولوم
.۰/۰۴	$1/43 \pm 0/12$	$1/40 \pm 0/12$	$1/41 \pm 0/12$	نسبت سر به گردن
.۰/۰۰۱	$129/3 \pm 4/2$	$131/2 \pm 4/3$	$130/6 \pm 4/4$	زاویه‌ی گردن فمور - تنہ فمور

نیز ۲۷۰ نفر (۹۰ درصد) دارای ایندکس کمتر از ۴۲ درجه بودند و در ۳۰ نفر مقدار این زاویه بیشتر از ۴۳ درجه بود و در دو بیمار ایندکس فوق بیشتر از ۴۷ درجه بود. در مورد

۲۸۶ نفر (۹۵/۳ درصد) دارای زاویه‌ی مرکز سر - لبه استابولوم بیشتر از ۲۵ درجه داشتند و در ۱۴ نفر (۷/۴ درصد)، مقدار این زاویه کمتر از ۲۶ درجه بود. در مورد ایندکس استابولوم

در شکل استابولوم که در نهایت منجر به عدم پوشش کافی سر استخوان فمور می‌گردد اصطلاحاً دیسپلازی استابولوم نامیده می‌شود و برای نشان دادن آن از پارامترهای زاویه‌ی مرکز سر استخوان فمور بالبهی استابولوم و ایندکس استابولوم استفاده می‌گردد (۱۷ و ۱۶ او ۴). زاویه‌ی مرکز سر استخوان فمور بالبهی استابولوم که اولین بار در سال ۱۹۳۹ توسط وایرگ ارایه شد، در واقع نشان‌دهندهٔ موقعیت مرکز سر فمور نسبت به استابولوم است. به عبارت دیگر هرچه این زاویه کمتر باشد بدین معنا است که سر خارج‌تر از موقعیت نرمال قرار گرفته است یا به عبارت دیگر پوشش سر توسط استابولوم کمتر شده است. حدی که در اکثر منابع به عنوان حداقل نرمال در نظر گرفته می‌شود ۲۵ درجه است (۱۹ او ۱۸ او ۴). طبق بررسی حاضر ۹۵/۳ درصد مردم این جامعه دارای زاویه‌ای بیشتر از حد فوق هستند و ۴/۷ درصد ایرانیان دارای دیسپلازی استابولوم می‌باشند.

ایندکس استابولوم که آنرا زاویه‌ی استابولوم نیز می‌نامند، از دیگر معیارهای دیسپلازی استابولوم است. طبق منابع مختلف محدوده‌ی ۳۳ تا ۳۸ درجه را زاویه‌ی نرمال در نظر می‌گیرند. هرچه زاویه بیشتر باشد نشان‌دهنده‌ی این مطلب است که پوشش سر فمور توسط استابولوم کمتر شده است. محدوده‌ی ۳۸ تا ۴۲ درجه را حد بالای نرمال در نظر می‌گیرند و زوایای بالاتر از ۴۷ درجه نشان‌دهنده‌ی ساب لاسیشن سر استخوان فمور می‌باشد. زوایای کمتر از ۳۲ درجه شایع نیست و اهمیت بالینی هم ندارد و محدوده‌ی ۴۲ تا ۴۷ درجه نیز از نظر ارزش بالینی در دست تحقیق است (۴). طبق تحقیق حاضر ۹۰ درصد افراد دارای ایندکس استابولوم کمتر از ۴۲ درجه هستند. این زاویه در زنان و مردان اختلاف معنی‌دار ندارد که در مطالعه‌ی مانیز اختلاف معنی‌دار مشاهده نشد.

زاویه‌ی گردن با تنه‌ی استخوان فمور از معیارهای دیگری است که در بسیاری از مطالعات مورد توجه قرار گرفته است.

ارتباط زاویه‌ی گردن فمور - تنه‌ی فمور با متغیرهای فیزیکی، بین این زاویه و سن و وزن ارتباطی مشاهده نشد اما بین این زاویه و قد ارتباط مستقیم ($P=0.001$ و $r=0.189$) و بین این زاویه و شاخص توده‌ی بدنی ارتباط معکوس ($P=0.032$ و $r=0.124$) مشاهده گردید. در مورد نسبت سر به گردن نیز بین این نسبت و سن و وزن ارتباطی مشاهده نشد اما بین این نسبت و قد ارتباط معکوس ($P=0.009$ و $r=0.150$) و بین این نسبت و شاخص توده‌ی بدنی ارتباط مستقیم ($P=0.011$ و $r=0.149$) مشاهده گردید. در خصوص ارتباط متغیرهای آناتومیک هیچ با یکدیگر تنها بین ایندکس استابولوم و زاویه‌ی مرکز سر - لبه استابولوم ارتباط معنی‌دار در جهت معکوس مشاهده شد ($P=0.0001$ و $r=0.452$) و در سایر موارد ارتباط معنی‌داری مشاهده نگردید.

بحث

یکی از شایع‌ترین مشکلات بیماران مراجعه کننده به کلینیک‌های ارتوبدی، دردهای ناشی از استئواارتیت یا آرتروز درزراتیو مفاصل است که از میان آن‌ها مفصل هیچ و زانو با شیوع بالاتری همراه هستند. استئواارتیت بر اساس اتیولوژی به طور کلی در دو دسته قرار می‌گیرد:

اولیه و ثانویه: استئواارتیت اولیه وقتی است که علتی برای آن پیدا نشود در حالی که در موارد ثانویه یک عامل دیگر باعث آسیب مفصل و پیدایش تغییرات و علایم استئواارتیت می‌گردد، نظیر شکستگی‌های داخل یا اطراف مفصل، برخی بیماری‌های متابولیک، تومورها و غیره طبیعتاً برای آشکار شدن علل مختلف استئواارتیت عوامل زیادی تحت بررسی و مطالعه قرار می‌گیرند که یکی از این موارد، پارامترهای آناتومیک مفصل هیچ است که در مطالعات زیادی سعی شده بین این متغیرهای آناتومیک و استئواارتیت ارتباط پیدا شود. این پارامترها شامل پارامترهای آناتومیک استابولوم و پارامترهای مربوط به سر و گردن استخوان فمور است. تغییر

Pistol Grip Deformity تئوری را پیشنهاد کرد و اصطلاح را برای آن پیشنهاد نمود که این موضوع پس از آن توسط مطالعات زیادی مورد بررسی قرار گرفت و امروزه این مطلب به عنوان یک اتیولوژی برای استئوآرتریت اوالیه مفصل هیپ مورد قبول می‌باشد (۲۲). هرچند بررسی نسبت قطر سر به گردن یکی از مسایل شایع در مبحث آرتروپلاستی مفصل هیپ است، بررسی این نسبت در مفاصل هیپ نرمال دارای مطالعات اندکی است که جا دارد بررسی‌های بیشتری در این خصوص انجام شود. طبیعتاً هرچه نسبت قطر سر به گردن کمتر باشد احتمال تماس گردن باله‌ی استabilum و پیدایش تغییرات استئوآرتریت در مفصل بیشتر می‌شود. آی ام در مطالعه‌ی خود در کره میانگین این نسبت را در مردان ۱/۴۲ و در زنان ۱/۴۷ برآورد نمود (۸). دوبرتی نیز در مطالعه‌ی خود در انگلستان نسبت کلی سر به تنہ را ۱/۴۳ برآورد نمود و دریافت که شیوع اختلال در این نسبت در مردان به‌طور معنی‌داری بیشتر از زنان است (۱). در مطالعه‌ی ما میانگین این نسبت در مردان ۱/۴۰ و در زنان ۱/۴۳ برآورد گردیده است. در این تحقیق ارتباط بین متغیرهای آناتومیک هیپ و پارامترهای فیزیکی بدن نیز جستجو گردید که در مواردی نیز ارتباط معنی‌دار مشاهده شد: بین زاویه‌ی گردن-تنه استخوان فمور و BMI ارتباط مستقیم و بین ایندکس استabilum و زاویه‌ی مرکز-سر ارتباط معکوس مشاهده شد که این مساله کاملاً منطقی است، چراکه ایندکس استabilum نشان‌دهنده‌ی عمق استabilum است و هرچه استabilum عمیق‌تر باشد پوشش سر توسط استabilum نیز بیشتر خواهد بود. از طرف دیگر دو ارتباط معنی‌دار دیگر نیز مشاهده شد که عبارت بودند از ارتباط مستقیم قد با زاویه‌ی گردن-تنه و ارتباط معکوس قد با نسبت سر-گردن که در این خصوص ما هیچ مطالعه‌ی دیگری پیدا نکردیم که این ارتباطات را جستجو کرده باشد بنابراین اهمیت بالینی این ارتباط‌ها را تحقیقات بعدی باید مشخص نماید.

مقدار متوسط آن در بیشتر منابع مرجع ۱۳۵ درجه ذکر شده است. هوگلود در مطالعه‌ای روی اجسام قفقازی و چینی با هدف تعیین پارامترهای آناتومیک استخوان فمور، مقدار زاویه‌ی گردن-تنه را در فرقه‌ای‌ها ۱۳۶ درجه برای مردها (۱۴۵-۱۲۰ درجه) و ۱۳۳ درجه برای زن‌ها (۱۱۵-۱۲۰ درجه) تعیین نمود (۲۰). کم شدن این زاویه را اصطلاحاً کوکسا وارا و زیاد شده مقدار آن را اصطلاحاً والگا می‌نامند. هرچند مشخص شده است که در کوکسا والگا فشار داخل مفصلی افزایش می‌یابد اما اهمیت بالینی آن در پیدایش استئوآرتریت مفصل هیپ هنوز به اثبات نرسیده است. ریکراس در مطالعه‌ی خود روی بیماران دارای استئوآرتریت مفصل هیپ نشان داد که بین چرخش قدامی گردن فمور با استئوآرتریت ارتباط معنی‌دار وجود دارد اما نتوانست بین زاویه‌ی گردن-تنه فمور و استئوآرتریت ارتباط معنی‌داری پیدا کند (۲۱). این زاویه به فشارهای وارد روی مفصل وابسته است به‌طوری‌که در نوزادان بیشترین مقدار را دارد و بتدریج با راه افتادن مقدار آن کم می‌شود. اندرسون با بررسی ۳۰ تحقیق انجام شده در جوامع مختلف متوجه شد که میانگین این زاویه در مشاغل اداری بیشتر از مشاغلی است که کارهای ایستاده انجام می‌دهند، نظیر کشاورزان (۲۲). در این تحقیق میانگین این زاویه در زنان بیشتر از مردان بوده و در ۶ تحقیق نیز این اختلاف معنی‌دار بوده است که این نتیجه بر عکس نتیجه به‌دست آمده در مطالعه‌ی هوگلود می‌باشد. در مطالعه‌ی ما نیز میانگین این زاویه در مردان بیشتر از زنان بوده است. نسبت سر فمور به گردن فمور هم پارامتری است که در دهه‌ی اخیر مورد توجه زیادی بوده است. کم بودن نسبت سر به گردن باعث تماس گردن به‌لبه‌ی استabilum به‌خصوص در قسمت قدام می‌شود که این مساله باعث تخریب تدریجی مفصل و استئوآرتریت می‌شود. استالبرگ برای اولین بار این

تقدیر و تشکر

نویسندهای از پرسنل بخش رادیولوژی برای همکاری با این طرح نهایت قدردانی را می‌نمایند.

نتیجه‌گیری

پارامترهای آناتومیک جامعه‌ی ایرانی تقریباً مشابه سایر جوامع است در نتیجه شیوع دیسپلازی هیپ در افراد بدون علامت ۴/۷ درصد برآورد می‌شود.

References

- 1- Doherty M, Courtney P, Doherty S, et al. Nonspherical femoral head shape (pistol grip deformity), neck shaft angle, and risk of hip osteoarthritis: a case-control study. *Arthritis & Rheumatism*. 2008; 58: 3172-82.
- 2- Reijman M, Hazes J, Pols H, Koes B, Bierma-Zeinstra S. Acetabular dysplasia predicts incident osteoarthritis of the hip: the Rotterdam study. *Arthritis & Rheumatism*. 2005; 52: 787-93.
- 3- Daysal G, Goker B, Gonen E, et al. The relationship between hip joint space width, center edge angle and acetabular depth. *Osteoarthritis and Cartilage*. 2007; 15: 1446-51.
- 4- Sharp IK. Acetabular dysplasia the acetabular angle. *J Bone & Joint Surgery*. 1961; 43: 268-72.
- 5- Goker B, Sancak A, Arac M, Shott S, Block J. The radiographic joint space width in clinically normal hips: effects of age, gender and physical parameters. *Osteoarthritis and Cartilage*. 2003; 11: 328-34.
- 6- Hoaglund FT, Oishi CS, Gialamas GG. Extreme variations in racial rates of total hip arthroplasty for primary coxarthrosis: a population-based study in San Francisco. *Ann Rheum Dis*. 1995; 54: 107-10.
- 7- Inoue K, Wicart P, Kawasaki T, et al.

- Prevalence of hip osteoarthritis and acetabular dysplasia in French and Japanese adults. *Rheumatology*. 2000; 39: 745-8.
- 8- Im G-I, Kim J-Y. Radiological joint space width in the clinically normal hips of a Korean population. *Osteoarthritis and Cartilage*. 2010; 18: 61-4.
- 9- Yoshimura N, Campbell L, Hashimoto T, et al. Acetabular dysplasia and hip osteoarthritis in Britain and Japan. *Rheumatology*. 1998; 37: 1193-7.
- 10- Lau E, Lin F, Lam D, Silman A, Croft P. Hip osteoarthritis and dysplasia in Chinese men. *Ann Rheum Dis*. 1995; 54: 965-9.
- 11- Kellgren J, Lawrence J. Radiological assessment of osteo-arthrosis. *Ann Rheum Dis*. 1957; 16: 494-502.
- 12- Congenital anomalies of the lower extremity. In: S. Terry Canale JHB, editor. *Campbell's Operative Orthopaedics*. 2. 12th ed. Philadelphia: Mosby; 2013. p. 980-1061.
- 13- Nötzli H, Wyss T, Stoecklin C, Schmid M, Treiber K, Hodler J. The contour of the femoral head-neck junction as a predictor for the risk of anterior impingement. *J Bone & Surgery*. 2002; 84: 556-60.
- 14- Tian TP, Chen Y, Leow WK, Hsu W, Howe

- TS, Png MA. Computing neck-shaft angle of femur for x-ray fracture detection. Computer Analysis of Images and Patterns; 2003: Springer.
- 15- Pajarinen J, Lindahl J, Savolainen V, Michelsson O, Hirvensalo E. Femoral shaft medialisation and neck-shaft angle in unstable peritrochanteric femoral fractures. *Int Ortho.* 2004; 28: 347-53.
- 16- Ömeroglu H, Biçimoglu A, Aguş H, Tümer Y. Measurement of center-edge angle in developmental dysplasia of the hip: a comparison of two methods in patients under 20 years of age. *Skeletal Radiology.* 2002; 31: 25-9.
- 17- Murphy SB, Ganz R, Müller M. The prognosis in untreated dysplasia of the hip. A study of radiographic factors that predict the outcome. *J Bone & Joint Surgery.* 1995; 77: 985-9.
- 18- Fredensborg N. The CE angle of normal hips. *Acta Orthopaedica.* 1976; 47: 403-5.
- 19- Laurendon RD. The Acetabular index a critical review. *J Bone & Joint Surgery.* 1959; 41: 702-10.
- 20- Hoaglund F, Wenc djin L. Anatomy of the femoral neck and head, with comparative data from Caucasians and Hong Kong Chinese. *Clin Ortho Res.* 1980; 152: 10-6.
- 21- Reikeras O, Hoiseth A. Femoral neck angles in osteoarthritis of the hip. *Acta Orthopaedica.* 1982; 53: 781-4.
- 22- Anderson JY, Trinkaus E. Patterns of sexual, bilateral and interpopulational variation in human femoral neck-shaft angles. *J Anatomy.* 1998; 192: 279-85.
- 23- Ganz R, Parvizi J, Beck M, Leunig M, Nötzli H, Siebenrock KA. Femoroacetabular impingement: a cause for osteoarthritis of the hip. *Clin Ortho Res.* 2003; 417: 112-20.

Anatomic Parameters of the Hip Joint and their Relationship to Physical Parameters of the Body

Yeganeh A¹, Shah-Hoseini GH¹, Rooyan P¹, Ahmadzadeh Heshmati A²

¹Dept. of Orthopedics, Rasool Hospital, Faculty of Medicine, Iran University of Medical Sciences, Tehran, Iran.

²Dept. of Orthopedics, Bahonar Hospital, Faculty of Medicine, Kerman University of Medical Sciences, Kerman, Iran.

Corresponding Author: Ahmadzadeh Heshmati A, Dept. of Orthopedics, Bahonar Hospital, Faculty of Medicine, Kerman University of Medical Science, Kerman, Iran.

E-mail: aahorthoped@gmail.com

Received: 29 Oct 2014 **Accepted:** 31 May 2015

Background and Objective: Arthrosis of the hip joint is one of the most common complications of patients and many efforts have been made to find its etiology. One of the subjects important for researchers is morphologic parameters of the hip joint and its relationship with osteoarthritis of this joint. Since these parameters themselves are affected by physical parameters of the body and the race, we made an endeavor to study these parameters in an Iranian population.

Materials and Methods: 300 normal anteroposterior radiograms of the pelvis were studied for anatomic parameters of the hip joint including: center edge angle of Wiberg, acetabular index, neck-shaft angle and head-neck ratio. Physical parameters of subjects including height, weight and body mass index (BMI) were recorded. The relationship between these parameters were studied using SPSS software.

Results: Mean center-edge angle was 34 degrees, mean acetabular index was 38 degrees, mean head-neck ratio was 1.4 and mean neck-shaft angle was 130 degrees. Center-edge angle was greater than 25 degrees in 4.7% of our population. With respect to correlation between anatomic parameters of the hip and physical parameters, neck-shaft angle and height, and also head-neck ratio and BMI had positive correlations with neck-shaft angle and BMI, but head-neck ratio and height had inverse correlation.

Conclusion: The mean parameters of hip joint in Iranian population are similar to other populations. In our population, 4.7% of asymptomatic hips had acetabular dysplasia.

Keywords: *Acetabular dysplasia, Neck-shaft angle, Acetabular index, Head-neck ratio, Center-edge angle*